

Text-Independent Speaker Recognition Using Gaussian Mixture Models

Eduardo Martins Barros de Albuquerque Tenório

Centro de Informática
Universidade Federal de Pernambuco
Trabalho de Graduação em Engenharia da Computação
embat@cin.ufpe.br

Recife, 25 de Junho de 2015

Conteúdo

- 1 Introdução
- 2 Sistemas de Reconhecimento de Locutor
- 3 Extração de Características
- 4 Modelos de Mistura Gaussianas
- 5 Experimentos
- 6 Conclusão

Conteúdo

- 1 Introdução
- 2 Sistemas de Reconhecimento de Locutor
- 3 Extração de Características
- 4 Modelos de Mistura Gaussianas
- 5 Experimentos
- 6 Conclusão

Reconhecimento de ...

Fala **O que** está sendo dito

Reconhecimento de ...

Fala **O que** está sendo dito

- Conteúdo da mensagem

Reconhecimento de ...

Fala **O que** está sendo dito

- Conteúdo da mensagem
- Estado emocional do locutor

Reconhecimento de ...

Fala **O que** está sendo dito

- Conteúdo da mensagem
- Estado emocional do locutor
- Sotaque ou dificuldade de articulação

Reconhecimento de ...

Fala **O que** está sendo dito

- Conteúdo da mensagem
- Estado emocional do locutor
- Sotaque ou dificuldade de articulação

Locutor **Quem** está falando

Reconhecimento de ...

Fala **O que** está sendo dito

- Conteúdo da mensagem
- Estado emocional do locutor
- Sotaque ou dificuldade de articulação

Locutor **Quem** está falando

- Identificar uma pessoa num grupo

Reconhecimento de ...

Fala **O que** está sendo dito

- Conteúdo da mensagem
- Estado emocional do locutor
- Sotaque ou dificuldade de articulação

Locutor **Quem** está falando

- Identificar uma pessoa num grupo
- Autenticar um usuário

Reconhecimento de ...

Fala **O que** está sendo dito

- Conteúdo da mensagem
- Estado emocional do locutor
- Sotaque ou dificuldade de articulação

Locutor **Quem** está falando

- Identificar uma pessoa num grupo
- Autenticar um usuário

Este trabalho é focado em reconhecimento de **locutor**

Reconhecimento de Locutor

Identificação Determina a identidade de um locutor dentro de um conjunto não unitário

Reconhecimento de Locutor

Identificação Determina a identidade de um locutor dentro de um conjunto não unitário

- 1 para N

Reconhecimento de Locutor

Identificação Determina a identidade de um locutor dentro de um conjunto não unitário

- 1 para N
- Problema de **conjunto fechado**

Reconhecimento de Locutor

Identificação Determina a identidade de um locutor dentro de um conjunto não unitário

- 1 para N
- Problema de **conjunto fechado**

Verificação Determina se o locutor é quem diz ser

Reconhecimento de Locutor

Identificação Determina a identidade de um locutor dentro de um conjunto não unitário

- 1 para N
- Problema de **conjunto fechado**

Verificação Determina se o locutor é quem diz ser

- 1 para 1

Reconhecimento de Locutor

Identificação Determina a identidade de um locutor dentro de um conjunto não unitário

- 1 para N
- Problema de **conjunto fechado**

Verificação Determina se o locutor é quem diz ser

- 1 para 1
- Problema de **conjunto aberto**

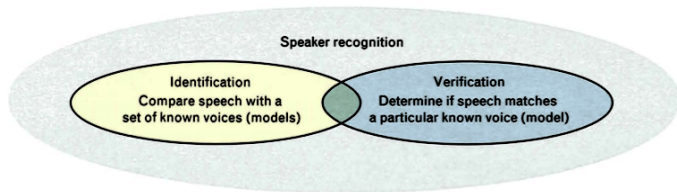
Reconhecimento de Locutor

Identificação Determina a identidade de um locutor dentro de um conjunto não unitário

- 1 para N
- Problema de **conjunto fechado**

Verificação Determina se o locutor é quem diz ser

- 1 para 1
- Problema de **conjunto aberto**



Dependência de texto

Dependente Teste \in Treinamento

Dependência de texto

Dependente Teste \in Treinamento

- Diversos graus de dependência

Dependência de texto

Dependente Teste \in Treinamento

- Diversos graus de dependência
- Teste \notin Treinamento \implies Retreinamento

Dependência de texto

Dependente Teste \in Treinamento

- Diversos graus de dependência
- Teste \notin Treinamento \implies Retreinamento

Independente Teste \neq Treinamento

Dependência de texto

Dependente Teste \in Treinamento

- Diversos graus de dependência
- Teste \notin Treinamento \implies Retreinamento

Independente Teste \neq Treinamento

- Características não textuais

Dependência de texto

Dependente Teste \in Treinamento

- Diversos graus de dependência
- Teste \notin Treinamento \implies Retreinamento

Independente Teste \neq Treinamento

- Características não textuais
- Presentes em diferentes sotaques e até *gibberish*

Dependência de texto

Dependente Teste \in Treinamento

- Diversos graus de dependência
- Teste \notin Treinamento \implies Retreinamento

Independente Teste \neq Treinamento

- Características não textuais
- Presentes em diferentes sotaques e até *gibberish*

Este trabalho é focado em reconhecimento de locutor
independente de texto

Modelos de Mistura Gaussiana

GMM **Combinação** de Gaussianas

Modelos de Mistura Gaussiana

GMM **Combinação** de Gaussianas

UBM GMM gerado por diversas **locuções de fundo**

Modelos de Mistura Gaussiana

GMM **Combinação** de Gaussianas

UBM GMM gerado por diversas **locuções de fundo**

AGMM GMM **adaptado** a partir de um UBM

Modelos de Mistura Gaussiana

GMM **Combinação** de Gaussianas

UBM GMM gerado por diversas **locuções de fundo**

AGMM GMM **adaptado** a partir de um UBM

FGMM GMM utilizando **Fractional Covariance Matrix** (FCM)

Objetivos

Implementar sistemas de reconhecimento de locutor e analisar:

Objetivos

Implementar sistemas de reconhecimento de locutor e analisar:

- Taxas de **sucesso** para identificação

Objetivos

Implementar sistemas de reconhecimento de locutor e analisar:

- Taxas de **sucesso** para identificação
 - Diferentes tamanhos de mistura (M)

Objetivos

Implementar sistemas de reconhecimento de locutor e analisar:

- Taxas de **sucesso** para identificação
 - Diferentes tamanhos de mistura (M)
 - Diferentes tamanhos de características (Δ)

Objetivos

Implementar sistemas de reconhecimento de locutor e analisar:

- Taxas de **sucesso** para identificação
 - Diferentes tamanhos de mistura (M)
 - Diferentes tamanhos de características (Δ)
- Comparar identificações utilizando GMM e FGMM

Objetivos

Implementar sistemas de reconhecimento de locutor e analisar:

- Taxas de **sucesso** para identificação
 - Diferentes tamanhos de mistura (M)
 - Diferentes tamanhos de características (Δ)
- Comparar identificações utilizando GMM e FGMM
- Taxas de **falsa detecção** e **falsa rejeição** para verificação

Objetivos

Implementar sistemas de reconhecimento de locutor e analisar:

- Taxas de **sucesso** para identificação
 - Diferentes tamanhos de mistura (M)
 - Diferentes tamanhos de características (Δ)
- Comparar identificações utilizando GMM e FGMM
- Taxas de **falsa detecção** e **falsa rejeição** para verificação
 - Diferentes tamanhos de mistura (M)

Objetivos

Implementar sistemas de reconhecimento de locutor e analisar:

- Taxas de **sucesso** para identificação
 - Diferentes tamanhos de mistura (M)
 - Diferentes tamanhos de características (Δ)
- Comparar identificações utilizando GMM e FGMM
- Taxas de **falsa detecção** e **falsa rejeição** para verificação
 - Diferentes tamanhos de mistura (M)
 - Diferentes tamanhos de características (Δ)

Objetivos

Implementar sistemas de reconhecimento de locutor e analisar:

- Taxas de **sucesso** para identificação
 - Diferentes tamanhos de mistura (M)
 - Diferentes tamanhos de características (Δ)
- Comparar identificações utilizando GMM e FGMM
- Taxas de **falsa detecção** e **falsa rejeição** para verificação
 - Diferentes tamanhos de mistura (M)
 - Diferentes tamanhos de características (Δ)
- Comparar verificações utilizando GMM e AGMM

Conteúdo

- 1 Introdução
- 2 Sistemas de Reconhecimento de Locutor**
- 3 Extração de Características
- 4 Modelos de Mistura Gaussianas
- 5 Experimentos
- 6 Conclusão

Identificação

Modelagem Para cada locutor $S_j \in \mathcal{S}$

Identificação

Modelagem Para cada locutor $\mathcal{S}_j \in \mathcal{S}$

- Extrair \mathbf{X}_k dos sinais \mathbf{Y}_k falados por \mathcal{S}_j

Identificação

Modelagem Para cada locutor $\mathcal{S}_j \in \mathcal{S}$

- Extrair \mathbf{X}_k dos sinais \mathbf{Y}_k falados por \mathcal{S}_j
- Treinar um λ_j para cada \mathcal{S}_j através dos \mathbf{X}_k

Identificação

Modelagem Para cada locutor $\mathcal{S}_j \in \mathcal{S}$

- Extrair \mathbf{X}_k dos sinais \mathbf{Y}_k falados por \mathcal{S}_j
- Treinar um λ_j para cada \mathcal{S}_j através dos \mathbf{X}_k

Teste Para um locutor desconhecido \mathcal{S}

Identificação

Modelagem Para cada locutor $\mathcal{S}_j \in \mathcal{S}$

- Extrair \mathbf{X}_k dos sinais \mathbf{Y}_k falados por \mathcal{S}_j
- Treinar um λ_j para cada \mathcal{S}_j através dos \mathbf{X}_k

Teste Para um locutor desconhecido \mathcal{S}

- Extrair \mathbf{X} do sinal \mathbf{Y} falado por \mathcal{S}

Identificação

Modelagem Para cada locutor $\mathcal{S}_j \in \mathcal{S}$

- Extrair \mathbf{X}_k dos sinais \mathbf{Y}_k falados por \mathcal{S}_j
- Treinar um λ_j para cada \mathcal{S}_j através dos \mathbf{X}_k

Teste Para um locutor desconhecido \mathcal{S}

- Extrair \mathbf{X} do sinal \mathbf{Y} falado por \mathcal{S}
- $i = \arg_j \max p(\mathbf{X}|\lambda_j) \implies \mathcal{S} \leftarrow \mathcal{S}_i$

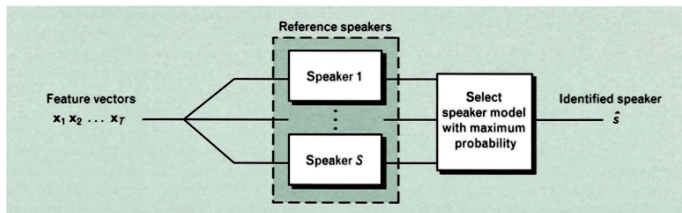
Identificação

Modelagem Para cada locutor $\mathcal{S}_j \in \mathcal{S}$

- Extrair \mathbf{X}_k dos sinais \mathbf{Y}_k falados por \mathcal{S}_j
- Treinar um λ_j para cada \mathcal{S}_j através dos \mathbf{X}_k

Teste Para um locutor desconhecido \mathcal{S}

- Extrair \mathbf{X} do sinal \mathbf{Y} falado por \mathcal{S}
- $i = \arg_j \max p(\mathbf{X}|\lambda_j) \Rightarrow \mathcal{S} \leftarrow \mathcal{S}_i$



Verificação

Modelagem Para todos os $S_j \in \mathcal{S}$

Verificação

Modelagem Para todos os $\mathcal{S}_j \in \mathcal{S}$

- Extrair \mathbf{X}_k dos sinais \mathbf{Y}_k falados por cada \mathcal{S}_j

Verificação

Modelagem Para todos os $\mathcal{S}_j \in \mathcal{S}$

- Extrair \mathbf{X}_k dos sinais \mathbf{Y}_k falados por cada \mathcal{S}_j
- Treinar um λ_{bkg} através dos \mathbf{X}_k de todos os \mathcal{S}_j

Verificação

Modelagem Para todos os $\mathcal{S}_j \in \mathcal{S}$

- Extrair \mathbf{X}_k dos sinais \mathbf{Y}_k falados por cada \mathcal{S}_j
- Treinar um λ_{bkg} através dos \mathbf{X}_k de todos os \mathcal{S}_j
- Modelar um λ_j para cada \mathcal{S}_j

Verificação

Modelagem Para todos os $\mathcal{S}_j \in \mathcal{S}$

- Extrair \mathbf{X}_k dos sinais \mathbf{Y}_k falados por cada \mathcal{S}_j
- Treinar um λ_{bkg} através dos \mathbf{X}_k de todos os \mathcal{S}_j
- Modelar um λ_j para cada \mathcal{S}_j

Teste \mathcal{S} diz ser $\mathcal{S}_C \in \mathcal{S}$

Verificação

Modelagem Para todos os $\mathcal{S}_j \in \mathcal{S}$

- Extrair \mathbf{X}_k dos sinais \mathbf{Y}_k falados por cada \mathcal{S}_j
- Treinar um λ_{bkg} através dos \mathbf{X}_k de todos os \mathcal{S}_j
- Modelar um λ_j para cada \mathcal{S}_j

Teste \mathcal{S} diz ser $\mathcal{S}_C \in \mathcal{S}$

- Extrair \mathbf{X} do sinal \mathbf{Y} falado por \mathcal{S}_C

Verificação

Modelagem Para todos os $\mathcal{S}_j \in \mathcal{S}$

- Extrair \mathbf{X}_k dos sinais \mathbf{Y}_k falados por cada \mathcal{S}_j
- Treinar um λ_{bkg} através dos \mathbf{X}_k de todos os \mathcal{S}_j
- Modelar um λ_j para cada \mathcal{S}_j

Teste \mathcal{S} diz ser $\mathcal{S}_C \in \mathcal{S}$

- Extrair \mathbf{X} do sinal \mathbf{Y} falado por \mathcal{S}_C
- $\Lambda(\mathbf{X}) = \log p(\mathbf{X}|\lambda_C) - \log p(\mathbf{X}|\lambda_{bkg})$

Verificação

Modelagem Para todos os $\mathcal{S}_j \in \mathcal{S}$

- Extrair \mathbf{X}_k dos sinais \mathbf{Y}_k falados por cada \mathcal{S}_j
- Treinar um λ_{bkg} através dos \mathbf{X}_k de todos os \mathcal{S}_j
- Modelar um λ_j para cada \mathcal{S}_j

Teste \mathcal{S} diz ser $\mathcal{S}_C \in \mathcal{S}$

- Extrair \mathbf{X} do sinal \mathbf{Y} falado por \mathcal{S}_C
- $\Lambda(\mathbf{X}) = \log p(\mathbf{X}|\lambda_C) - \log p(\mathbf{X}|\lambda_{bkg})$
- $\Lambda(\mathbf{X}) \geq \theta \implies \textit{aceita}$

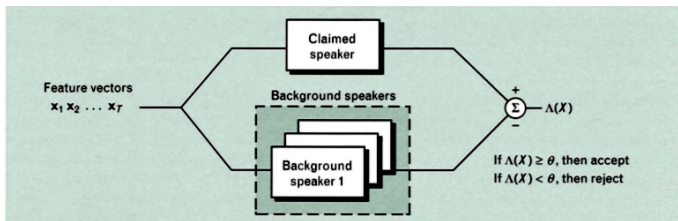
Verificação

Modelagem Para todos os $\mathcal{S}_j \in \mathcal{S}$

- Extrair \mathbf{X}_k dos sinais \mathbf{Y}_k falados por cada \mathcal{S}_j
- Treinar um λ_{bkg} através dos \mathbf{X}_k de todos os \mathcal{S}_j
- Modelar um λ_j para cada \mathcal{S}_j

Teste \mathcal{S} diz ser $\mathcal{S}_C \in \mathcal{S}$

- Extrair \mathbf{X} do sinal \mathbf{Y} falado por \mathcal{S}_C
- $\Lambda(\mathbf{X}) = \log p(\mathbf{X}|\lambda_C) - \log p(\mathbf{X}|\lambda_{bkg})$
- $\Lambda(\mathbf{X}) \geq \theta \implies \text{aceita}$



Conteúdo

- 1 Introdução
- 2 Sistemas de Reconhecimento de Locutor
- 3 Extração de Características**
- 4 Modelos de Mistura Gaussianas
- 5 Experimentos
- 6 Conclusão

Características Ideais

- Natural e frequente na fala

Características Ideais

- Natural e frequente na fala
- Facilmente mensurável

Características Ideais

- Natural e frequente na fala
- Facilmente mensurável
- \uparrow variação inter-locutor e \downarrow variação intra-locutor

Características Ideais

- Natural e frequente na fala
- Facilmente mensurável
- \uparrow variação inter-locutor e \downarrow variação intra-locutor
- Constante no tempo e não afetável pela saúde

Características Ideais

- Natural e frequente na fala
- Facilmente mensurável
- \uparrow variação inter-locutor e \downarrow variação intra-locutor
- Constante no tempo e não afetável pela saúde
- Robusta a ruído razoável e a transmissão

Características Ideais

- Natural e frequente na fala
- Facilmente mensurável
- \uparrow variação inter-locutor e \downarrow variação intra-locutor
- Constante no tempo e não afetável pela saúde
- Robusta a ruído razoável e a transmissão
- Difícil de ser produzido artificialmente

Características Ideais

- Natural e frequente na fala
- Facilmente mensurável
- \uparrow variação inter-locutor e \downarrow variação intra-locutor
- Constante no tempo e não afetável pela saúde
- Robusta a ruído razoável e a transmissão
- Difícil de ser produzido artificialmente
- Não ser facilmente modificável pelo locutor

Mel-Frequency Cepstrum Coefficients

Simula a função da **cóclea**

Mel-Frequency Cepstrum Coefficients

Simula a função da **cóclea**

Escala Mel Logaritmica

Mel-Frequency Cepstrum Coefficients

Simula a função da **cóclea**

Escala Mel Logaritmica

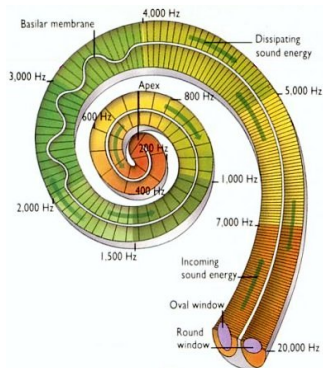
- $f_{mel} = 2595 \log_{10}(1 + \frac{f}{700})$

Mel-Frequency Cepstrum Coefficients

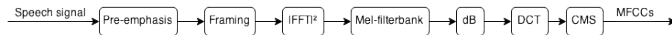
Simula a função da **cóclea**

Escala Mel Logaritmica

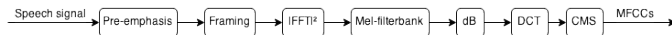
- $f_{mel} = 2595 \log_{10}\left(1 + \frac{f}{700}\right)$



MFCC - Extração

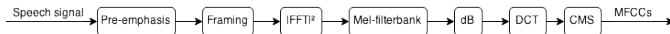


MFCC - Extração



Pré-ênfase **Realça** as altas frequências (opcional)

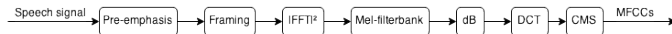
MFCC - Extração



Pré-ênfase **Realça** as altas frequências (opcional)

- $s_{emph}[n] = s[n] - \alpha \cdot s[n - 1]$

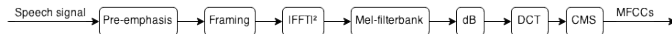
MFCC - Extração



Pré-ênfase **Realça** as altas frequências (opcional)

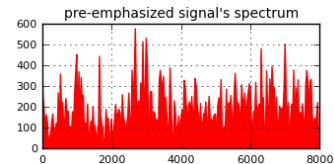
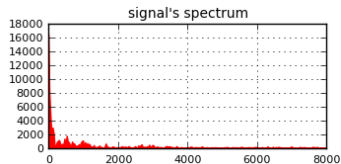
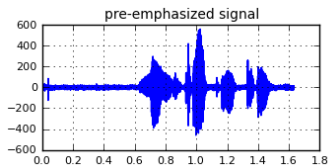
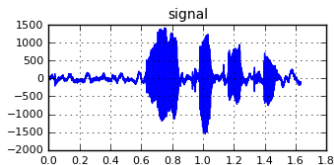
- $s_{emph}[n] = s[n] - \alpha \cdot s[n - 1]$
- $\alpha \in [0.95, 0.98]$

MFCC - Extração

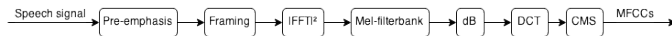


Pré-ênfase **Realça** as altas frequências (opcional)

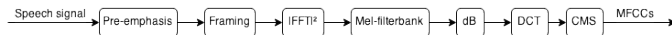
- $s_{emph}[n] = s[n] - \alpha \cdot s[n - 1]$
- $\alpha \in [0.95, 0.98]$



MFCC - Extração

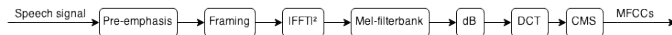


MFCC - Extração



Janelamento Divide o sinal em janelas **superpostas**

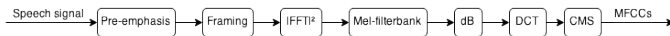
MFCC - Extração



Janelamento Divide o sinal em janelas **superpostas**

- Largura de 20 milissegundos

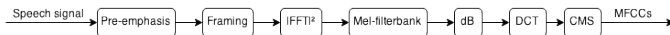
MFCC - Extração



Janelamento Divide o sinal em janelas **superpostas**

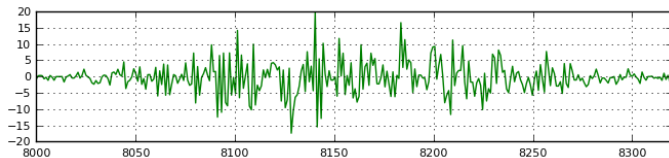
- Largura de 20 milissegundos
- Deslocamento de 10 milissegundos

MFCC - Extração

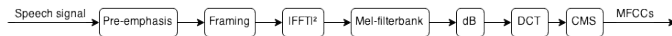


Janelamento Divide o sinal em janelas **superpostas**

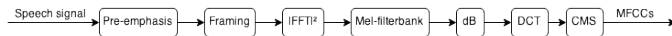
- Largura de 20 milissegundos
- Deslocamento de 10 milissegundos



MFCC - Extração

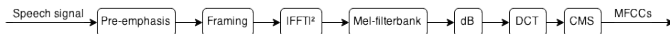


MFCC - Extração

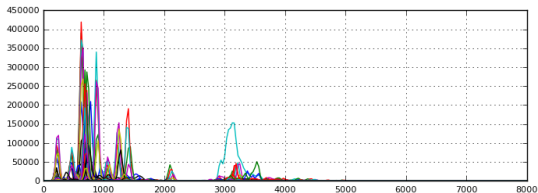
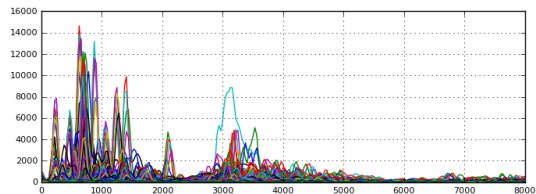


$|FFT|^2$ Calcula o **espectro de potência**

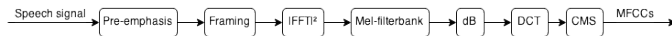
MFCC - Extração



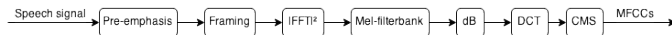
$|FFT|^2$ Calcula o **espectro de potência**



MFCC - Extração

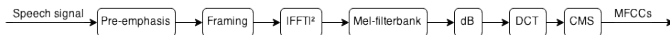


MFCC - Extração

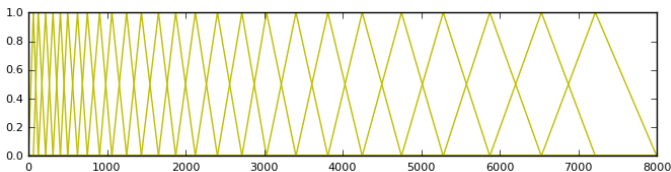


Filtros Espectro em Hz \Rightarrow espectro em **mels**

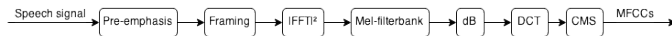
MFCC - Extração



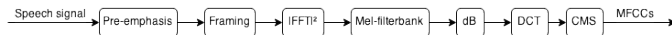
Filtros Espectro em Hz \Rightarrow espectro em **mels**



MFCC - Extração

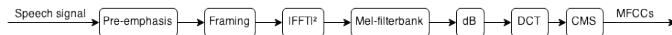


MFCC - Extração

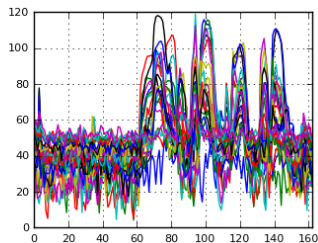
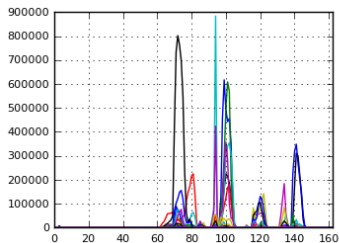


dB Calcula a **sonoridade**

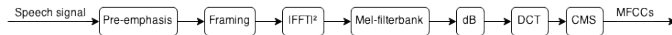
MFCC - Extração



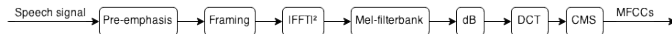
dB Calcula a **sonoridade**



MFCC - Extração

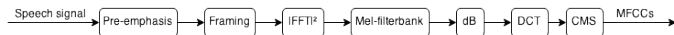


MFCC - Extração



DCT Coeficientes espectrais \Rightarrow coeficientes **cepstrais**

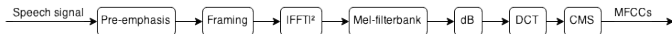
MFCC - Extração



DCT Coeficientes espectrais \implies coeficientes **cepstrais**

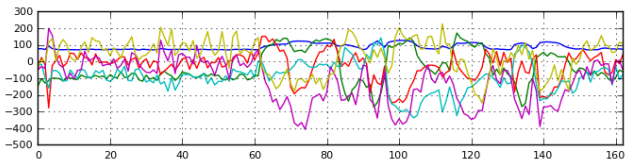
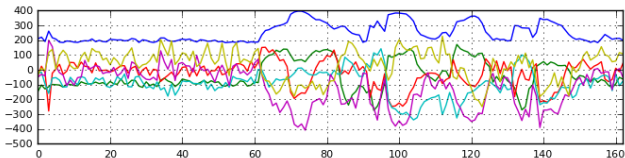
- $$c_n = \sum_{k=1}^K S_k \cdot \cos \left[n \left(k - \frac{1}{2} \right) \frac{\pi}{K} \right], n = 1, 2, \dots, L$$

MFCC - Extração

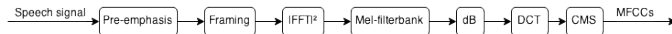


DCT Coeficientes espectrais \implies coeficientes **cepstrais**

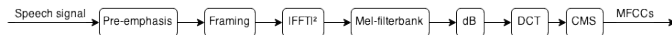
$$\bullet c_n = \sum_{k=1}^K S_k \cdot \cos \left[n \left(k - \frac{1}{2} \right) \frac{\pi}{K} \right], n = 1, 2, \dots, L$$



MFCC - Extração

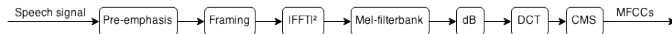


MFCC - Extração



CMS Normaliza os MFCCs para reduzir perturbações

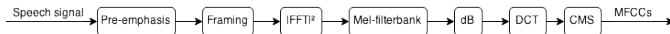
MFCC - Extração



CMS Normaliza os MFCCs para reduzir perturbações

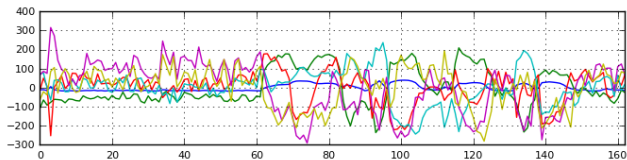
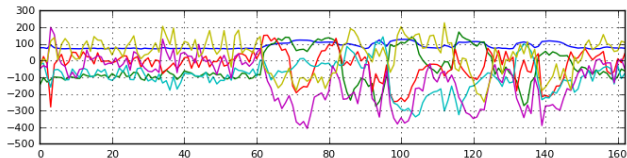
- $$c_n = c_n - \frac{1}{T} \sum_{t=1}^T c_{n,t}$$

MFCC - Extração

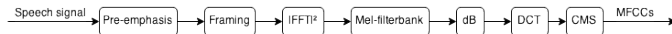


CMS Normaliza os MFCCs para reduzir perturbações

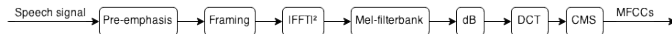
$$\bullet c_n = c_n - \frac{1}{T} \sum_{t=1}^T c_{n,t}$$



MFCC - Extração

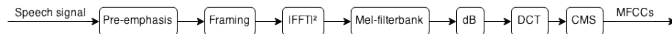


MFCC - Extração



Δs Novos c_n **derivados** dos antigos c_n (opcional)

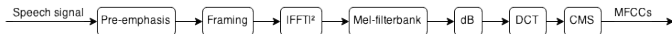
MFCC - Extração



Δs Novos c_n **derivados** dos antigos c_n (opcional)

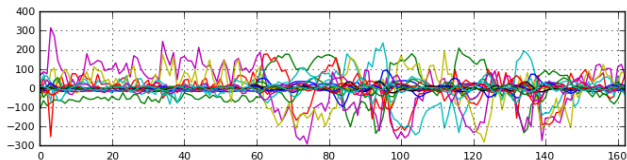
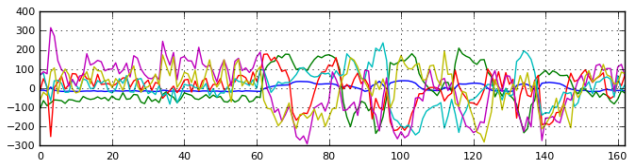
$$\bullet \Delta_t = \frac{\sum_{n=1}^N n(c_{t+n} - c_{t-n})}{2 \sum_{n=1}^N n^2}$$

MFCC - Extração



Δs Novos c_n **derivados** dos antigos c_n (opcional)

$$\bullet \Delta_t = \frac{\sum_{n=1}^N n(c_{t+n} - c_{t-n})}{2 \sum_{n=1}^N n^2}$$



Conteúdo

- 1 Introdução
- 2 Sistemas de Reconhecimento de Locutor
- 3 Extração de Características
- 4 Modelos de Mistura Gaussianas**
- 5 Experimentos
- 6 Conclusão

Definição

$$\text{GMM} \quad p(\mathbf{x}|\lambda) = \sum_{i=1}^M w_i p_i(\mathbf{x})$$

Definição

GMM $p(\mathbf{x}|\lambda) = \sum_{i=1}^M w_i p_i(\mathbf{x})$

Gaussiana $p(\mathbf{x}) = \frac{1}{(2\pi)^{D/2} |\boldsymbol{\Sigma}|^{1/2}} e^{-\frac{1}{2}(\mathbf{x}-\boldsymbol{\mu})' \boldsymbol{\Sigma}^{-1}(\mathbf{x}-\boldsymbol{\mu})}$

Definição

GMM $p(\mathbf{x}|\lambda) = \sum_{i=1}^M w_i p_i(\mathbf{x})$

Gaussiana $p(\mathbf{x}) = \frac{1}{(2\pi)^{D/2} |\boldsymbol{\Sigma}|^{1/2}} e^{-\frac{1}{2}(\mathbf{x}-\boldsymbol{\mu})' \boldsymbol{\Sigma}^{-1}(\mathbf{x}-\boldsymbol{\mu})}$

$$\lambda = \{(w_i, \boldsymbol{\mu}_i, \boldsymbol{\Sigma}_i)\}, i = 1, \dots, M$$

Definição

GMM $p(\mathbf{x}|\lambda) = \sum_{i=1}^M w_i p_i(\mathbf{x})$

Gaussiana $p(\mathbf{x}) = \frac{1}{(2\pi)^{D/2} |\mathbf{\Sigma}|^{1/2}} e^{-\frac{1}{2}(\mathbf{x}-\boldsymbol{\mu})' \mathbf{\Sigma}^{-1}(\mathbf{x}-\boldsymbol{\mu})}$

$$\lambda = \{(w_i, \boldsymbol{\mu}_i, \mathbf{\Sigma}_i)\}, i = 1, \dots, M$$

$$\mathbf{\Sigma} \text{ diagonal} \implies \sigma^2$$

Definição

GMM $p(\mathbf{x}|\lambda) = \sum_{i=1}^M w_i p_i(\mathbf{x})$

Gaussiana $p(\mathbf{x}) = \frac{1}{(2\pi)^{D/2} |\mathbf{\Sigma}|^{1/2}} e^{-\frac{1}{2}(\mathbf{x}-\boldsymbol{\mu})' \mathbf{\Sigma}^{-1}(\mathbf{x}-\boldsymbol{\mu})}$

$$\lambda = \{(w_i, \boldsymbol{\mu}_i, \mathbf{\Sigma}_i)\}, i = 1, \dots, M$$

$$\mathbf{\Sigma} \text{ diagonal} \implies \sigma^2$$

Dada uma sequência \mathbf{X}

Definição

GMM $p(\mathbf{x}|\lambda) = \sum_{i=1}^M w_i p_i(\mathbf{x})$

Gaussiana $p(\mathbf{x}) = \frac{1}{(2\pi)^{D/2} |\mathbf{\Sigma}|^{1/2}} e^{-\frac{1}{2}(\mathbf{x}-\boldsymbol{\mu})' \mathbf{\Sigma}^{-1}(\mathbf{x}-\boldsymbol{\mu})}$

$$\lambda = \{(w_i, \boldsymbol{\mu}_i, \mathbf{\Sigma}_i)\}, i = 1, \dots, M$$

$$\mathbf{\Sigma} \text{ diagonal} \implies \sigma^2$$

Dada uma sequência \mathbf{X}

- $p(\mathbf{X}|\lambda) = \prod_{t=1}^T p(\mathbf{x}_t|\lambda).$

Definição

GMM $p(\mathbf{x}|\lambda) = \sum_{i=1}^M w_i p_i(\mathbf{x})$

Gaussiana $p(\mathbf{x}) = \frac{1}{(2\pi)^{D/2} |\mathbf{\Sigma}|^{1/2}} e^{-\frac{1}{2}(\mathbf{x}-\boldsymbol{\mu})' \mathbf{\Sigma}^{-1}(\mathbf{x}-\boldsymbol{\mu})}$

$$\lambda = \{(w_i, \boldsymbol{\mu}_i, \mathbf{\Sigma}_i)\}, i = 1, \dots, M$$

$$\mathbf{\Sigma} \text{ diagonal} \implies \sigma^2$$

Dada uma sequência \mathbf{X}

- $p(\mathbf{X}|\lambda) = \prod_{t=1}^T p(\mathbf{x}_t|\lambda)$.
- Função não linear de λ

Definição

GMM $p(\mathbf{x}|\lambda) = \sum_{i=1}^M w_i p_i(\mathbf{x})$

Gaussiana $p(\mathbf{x}) = \frac{1}{(2\pi)^{D/2} |\mathbf{\Sigma}|^{1/2}} e^{-\frac{1}{2}(\mathbf{x}-\boldsymbol{\mu})' \mathbf{\Sigma}^{-1}(\mathbf{x}-\boldsymbol{\mu})}$

$$\lambda = \{(w_i, \boldsymbol{\mu}_i, \mathbf{\Sigma}_i)\}, i = 1, \dots, M$$

$$\mathbf{\Sigma} \text{ diagonal} \implies \sigma^2$$

Dada uma sequência \mathbf{X}

- $p(\mathbf{X}|\lambda) = \prod_{t=1}^T p(\mathbf{x}_t|\lambda)$.
- Função não linear de λ
- Estimar com o Expectation-Maximization (EM)

Expectation-Maximization

Estimar $\lambda^{(k+1)}$ a partir de λ^k

Expectation-Maximization

Estimar $\lambda^{(k+1)}$ a partir de λ^k

Obedecer $p(\mathbf{X}|\lambda^{(k+1)}) \geq p(\mathbf{X}|\lambda^{(k)})$

Expectation-Maximization

Estimar $\lambda^{(k+1)}$ a partir de λ^k

Obedecer $p(\mathbf{X}|\lambda^{(k+1)}) \geq p(\mathbf{X}|\lambda^{(k)})$

Calcular *E-Step* e *M-Step* para cada k até convergir

Expectation-Maximization

Estimar $\lambda^{(k+1)}$ a partir de λ^k

Obedecer $p(\mathbf{X}|\lambda^{(k+1)}) \geq p(\mathbf{X}|\lambda^{(k)})$

Calcular *E-Step* e *M-Step* para cada k até convergir

E-Step
$$P(i|\mathbf{x}_t) = \frac{w_i p_i(\mathbf{x}_t)}{\sum_{k=1}^M w_k p_k(\mathbf{x}_t)}$$

Expectation-Maximization

Estimar $\lambda^{(k+1)}$ a partir de λ^k

Obedecer $p(\mathbf{X}|\lambda^{(k+1)}) \geq p(\mathbf{X}|\lambda^{(k)})$

Calcular *E-Step* e *M-Step* para cada k até convergir

E-Step $P(i|\mathbf{x}_t) = \frac{w_i p_i(\mathbf{x}_t)}{\sum_{k=1}^M w_k p_k(\mathbf{x}_t)}$

M-Step Adaptar os parâmetros

Expectation-Maximization

Estimar $\lambda^{(k+1)}$ a partir de λ^k

Obedecer $p(\mathbf{X}|\lambda^{(k+1)}) \geq p(\mathbf{X}|\lambda^{(k)})$

Calcular *E-Step* e *M-Step* para cada k até convergir

E-Step $P(i|\mathbf{x}_t) = \frac{w_i p_i(\mathbf{x}_t)}{\sum_{k=1}^M w_k p_k(\mathbf{x}_t)}$

M-Step Adaptar os parâmetros

Pesos $\bar{w}_i = \frac{1}{T} \sum_{t=1}^T P(i|\mathbf{x}_t, \lambda)$

Expectation-Maximization

Estimar $\lambda^{(k+1)}$ a partir de λ^k

Obedecer $p(\mathbf{X}|\lambda^{(k+1)}) \geq p(\mathbf{X}|\lambda^{(k)})$

Calcular *E-Step* e *M-Step* para cada k até convergir

E-Step $P(i|\mathbf{x}_t) = \frac{w_i p_i(\mathbf{x}_t)}{\sum_{k=1}^M w_k p_k(\mathbf{x}_t)}$

M-Step Adaptar os parâmetros

Pesos $\bar{w}_i = \frac{1}{T} \sum_{t=1}^T P(i|\mathbf{x}_t, \lambda)$

Médias $\bar{\mu}_i = \frac{\sum_{t=1}^T P(i|\mathbf{x}_t, \lambda) \mathbf{x}_t}{\sum_{t=1}^T P(i|\mathbf{x}_t, \lambda)}$

Expectation-Maximization

Estimar $\lambda^{(k+1)}$ a partir de λ^k

Obedecer $p(\mathbf{X}|\lambda^{(k+1)}) \geq p(\mathbf{X}|\lambda^{(k)})$

Calcular *E-Step* e *M-Step* para cada k até convergir

E-Step $P(i|\mathbf{x}_t) = \frac{w_i p_i(\mathbf{x}_t)}{\sum_{k=1}^M w_k p_k(\mathbf{x}_t)}$

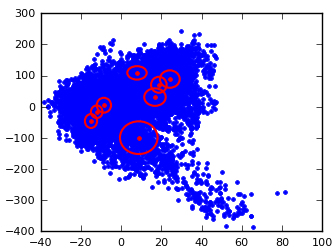
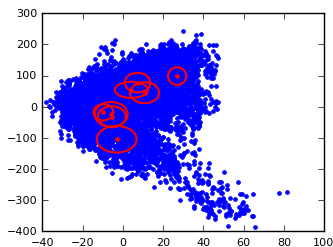
M-Step Adaptar os parâmetros

Pesos $\bar{w}_i = \frac{1}{T} \sum_{t=1}^T P(i|\mathbf{x}_t, \lambda)$

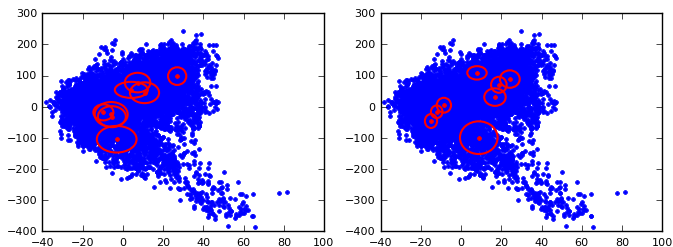
Médias $\bar{\mu}_i = \frac{\sum_{t=1}^T P(i|\mathbf{x}_t, \lambda) \mathbf{x}_t}{\sum_{t=1}^T P(i|\mathbf{x}_t, \lambda)}$

Variâncias $\bar{\sigma}_i^2 = \frac{\sum_{t=1}^T P(i|\mathbf{x}_t, \lambda) \mathbf{x}_t^2}{\sum_{t=1}^T P(i|\mathbf{x}_t, \lambda)} - \bar{\mu}_i^2$

Expectation-Maximization

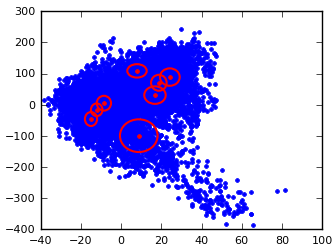
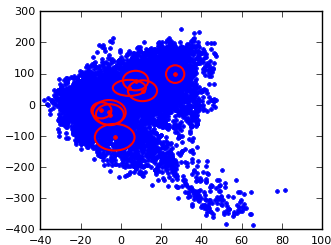


Expectation-Maximization



$$M = 8$$

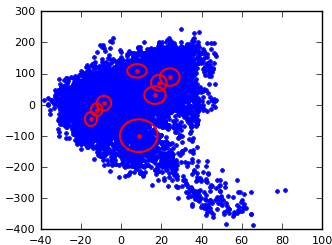
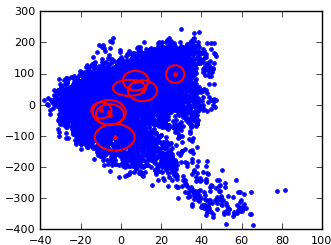
Expectation-Maximization



$$M = 8$$

$$\Delta = 0$$

Expectation-Maximization

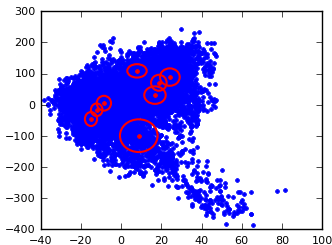
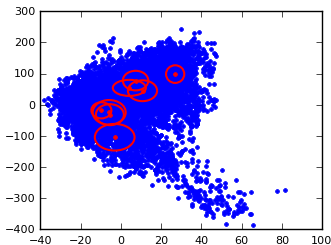


$$M = 8$$

$$\Delta = 0$$

Inicialização *k-means* com 1 iteração

Expectation-Maximization



$$M = 8$$

$$\Delta = 0$$

Inicialização *k-means* com 1 iteração

Limiar 10^{-3}

Universal Background Model

Utiliza locuções de todos os locutores registrados

Universal Background Model

Utiliza locuções de todos os locutores registrados

Realça características comuns

Universal Background Model

Utiliza locuções de todos os locutores registrados

Realça características comuns

X específico $\implies \uparrow \Lambda(\mathbf{X})$

Universal Background Model

Utiliza locuções de todos os locutores registrados

Realça características comuns

\mathbf{X} específico $\implies \uparrow \Lambda(\mathbf{X})$

Escolhido o tipo (b)

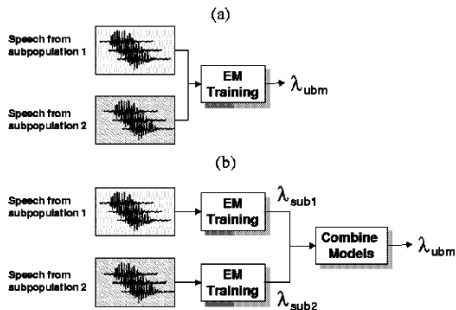
Universal Background Model

Utiliza locuções de todos os locutores registrados

Realça características comuns

\mathbf{X} específico $\implies \uparrow \Lambda(\mathbf{X})$

Escolhido o tipo (b)



Adapted Gaussian Mixture Model

Adaptação λ_{bkg} treinado $\implies \lambda_j$ para cada \mathcal{S}_j

Adapted Gaussian Mixture Model

Adaptação λ_{bkg} treinado $\implies \lambda_j$ para cada \mathcal{S}_j
Modelagem mais rápida que EM

Adapted Gaussian Mixture Model

Adaptação λ_{bkg} treinado $\implies \lambda_j$ para cada \mathcal{S}_j

Modelagem mais rápida que EM

Composto de *M-Step* e *MAP-Step*

Adapted Gaussian Mixture Model

Adaptação λ_{bkg} treinado $\implies \lambda_j$ para cada \mathcal{S}_j

Modelagem mais rápida que EM

Composto de *M-Step* e *MAP-Step*

E-Step Semelhante ao *E-Step* do EM

Adapted Gaussian Mixture Model

Adaptação λ_{bkg} treinado $\implies \lambda_j$ para cada \mathcal{S}_j

Modelagem mais rápida que EM

Composto de *M-Step* e *MAP-Step*

E-Step Semelhante ao *E-Step* do EM

- $n_i = \sum_{t=1}^T P(i|\mathbf{x}_t)$

Adapted Gaussian Mixture Model

Adaptação λ_{bkg} treinado $\implies \lambda_j$ para cada \mathcal{S}_j

Modelagem mais rápida que EM

Composto de *M-Step* e *MAP-Step*

E-Step Semelhante ao *E-Step* do EM

- $n_i = \sum_{t=1}^T P(i|\mathbf{x}_t)$
- $E_i(\mathbf{x}) = \frac{1}{n_i} \sum_{t=1}^T P(i|\mathbf{x}_t) \mathbf{x}_t$

Adapted Gaussian Mixture Model

Adaptação λ_{bkg} treinado $\implies \lambda_j$ para cada \mathcal{S}_j

Modelagem mais rápida que EM

Composto de *M-Step* e *MAP-Step*

E-Step Semelhante ao *E-Step* do EM

- $n_i = \sum_{t=1}^T P(i|\mathbf{x}_t)$
- $E_i(\mathbf{x}) = \frac{1}{n_i} \sum_{t=1}^T P(i|\mathbf{x}_t) \mathbf{x}_t$
- $E_i(\mathbf{x}^2) = \frac{1}{n_i} \sum_{t=1}^T P(i|\mathbf{x}_t) \mathbf{x}_t^2$

Adapted Gaussian Mixture Model

Adaptação λ_{bkg} treinado $\implies \lambda_j$ para cada \mathcal{S}_j

Modelagem mais rápida que EM

Composto de *M-Step* e *MAP-Step*

E-Step Semelhante ao *E-Step* do EM

- $n_i = \sum_{t=1}^T P(i|\mathbf{x}_t)$
- $E_i(\mathbf{x}) = \frac{1}{n_i} \sum_{t=1}^T P(i|\mathbf{x}_t) \mathbf{x}_t$
- $E_i(\mathbf{x}^2) = \frac{1}{n_i} \sum_{t=1}^T P(i|\mathbf{x}_t) \mathbf{x}_t^2$

MAP-Step Adapta os parâmetros

Adapted Gaussian Mixture Model

Adaptação λ_{bkg} treinado $\implies \lambda_j$ para cada \mathcal{S}_j

Modelagem mais rápida que EM

Composto de *M-Step* e *MAP-Step*

E-Step Semelhante ao *E-Step* do EM

- $n_i = \sum_{t=1}^T P(i|\mathbf{x}_t)$
- $E_i(\mathbf{x}) = \frac{1}{n_i} \sum_{t=1}^T P(i|\mathbf{x}_t) \mathbf{x}_t$
- $E_i(\mathbf{x}^2) = \frac{1}{n_i} \sum_{t=1}^T P(i|\mathbf{x}_t) \mathbf{x}_t^2$

MAP-Step Adapta os parâmetros

Pesos $\hat{w}_i = [\alpha_i n_i / T + (1 - \alpha_i) w_i] \gamma$

Adapted Gaussian Mixture Model

Adaptação λ_{bkg} treinado $\implies \lambda_j$ para cada \mathcal{S}_j

Modelagem mais rápida que EM

Composto de *M-Step* e *MAP-Step*

E-Step Semelhante ao *E-Step* do EM

- $n_i = \sum_{t=1}^T P(i|\mathbf{x}_t)$
- $E_i(\mathbf{x}) = \frac{1}{n_i} \sum_{t=1}^T P(i|\mathbf{x}_t) \mathbf{x}_t$
- $E_i(\mathbf{x}^2) = \frac{1}{n_i} \sum_{t=1}^T P(i|\mathbf{x}_t) \mathbf{x}_t^2$

MAP-Step Adapta os parâmetros

Pesos $\hat{w}_i = [\alpha_i n_i / T + (1 - \alpha_i) w_i] \gamma$

Médias $\hat{\mu}_i = \alpha_i E_i(\mathbf{x}) + (1 - \alpha_i) \mu_i$

Adapted Gaussian Mixture Model

Adaptação λ_{bkg} treinado $\implies \lambda_j$ para cada \mathcal{S}_j

Modelagem mais rápida que EM

Composto de *M-Step* e *MAP-Step*

E-Step Semelhante ao *E-Step* do EM

- $n_i = \sum_{t=1}^T P(i|\mathbf{x}_t)$
- $E_i(\mathbf{x}) = \frac{1}{n_i} \sum_{t=1}^T P(i|\mathbf{x}_t) \mathbf{x}_t$
- $E_i(\mathbf{x}^2) = \frac{1}{n_i} \sum_{t=1}^T P(i|\mathbf{x}_t) \mathbf{x}_t^2$

MAP-Step Adapta os parâmetros

Pesos $\hat{w}_i = [\alpha_i n_i / T + (1 - \alpha_i) w_i] \gamma$

Médias $\hat{\mu}_i = \alpha_i E_i(\mathbf{x}) + (1 - \alpha_i) \mu_i$

Variâncias $\hat{\sigma}_i^2 = \alpha_i E_i(\mathbf{x}^2) + (1 - \alpha_i)(\sigma_i^2 + \mu_i^2) - \hat{\mu}_i^2$

Adapted Gaussian Mixture Model

γ normaliza os pesos

Adapted Gaussian Mixture Model

γ normaliza os pesos

Coeficiente $\alpha_i = \frac{n_i}{n_i + r}$

Adapted Gaussian Mixture Model

γ normaliza os pesos

Coeficiente $\alpha_i = \frac{n_i}{n_i + r}$

- $\alpha_i \rightarrow 0 \implies$ manter os antigos parâmetros

Adapted Gaussian Mixture Model

γ normaliza os pesos

Coeficiente $\alpha_i = \frac{n_i}{n_i + r}$

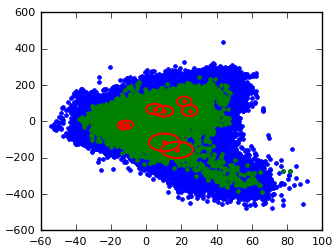
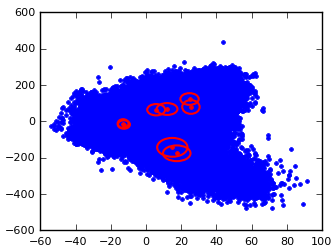
- $\alpha_i \rightarrow 0 \implies$ manter os antigos parâmetros
- $\alpha_i \rightarrow 1 \implies$ adaptar para os novos parâmetros

Adapted Gaussian Mixture Model

γ normaliza os pesos

Coeficiente $\alpha_i = \frac{n_i}{n_i + r}$

- $\alpha_i \rightarrow 0 \implies$ manter os antigos parâmetros
- $\alpha_i \rightarrow 1 \implies$ adaptar para os novos parâmetros

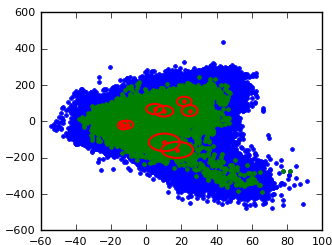
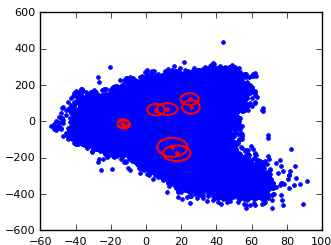


Adapted Gaussian Mixture Model

γ normaliza os pesos

Coeficiente $\alpha_i = \frac{n_i}{n_i + r}$

- $\alpha_i \rightarrow 0 \implies$ manter os antigos parâmetros
- $\alpha_i \rightarrow 1 \implies$ adaptar para os novos parâmetros



Pesos, médias e variâncias adaptados

Fractional Gaussian Mixture Model

GMM com Σ fracionário

Fractional Gaussian Mixture Model

GMM com Σ fracionário

- $\sigma^2 = E[(X^r - \mu^r)^2]$

Fractional Gaussian Mixture Model

GMM com Σ fracionário

- $\sigma^2 = E[(X^r - \mu^r)^2]$
- $\bar{\sigma}_i^2 = \frac{\sum_{t=1}^T P(i|\mathbf{x}_t, \lambda) (\mathbf{x}_t^r - \bar{\mu}_i^r)^2}{\sum_{t=1}^T P(i|\mathbf{x}_t, \lambda)}$

Fractional Gaussian Mixture Model

GMM com Σ fracionário

- $\sigma^2 = E[(X^r - \mu^r)^2]$
- $\bar{\sigma}_i^2 = \frac{\sum_{t=1}^T P(i|\mathbf{x}_t, \lambda) (\mathbf{x}_t^r - \bar{\mu}_i^r)^2}{\sum_{t=1}^T P(i|\mathbf{x}_t, \lambda)}$

Problema \mathbb{C}

Fractional Gaussian Mixture Model

GMM com Σ fracionário

- $\sigma^2 = E[(X^r - \mu^r)^2]$
- $\bar{\sigma}_i^2 = \frac{\sum_{t=1}^T P(i|\mathbf{x}_t, \lambda) (\mathbf{x}_t^r - \bar{\mu}_i^r)^2}{\sum_{t=1}^T P(i|\mathbf{x}_t, \lambda)}$

Problema \mathbb{C}

Antes $c_n = c_n + (1 - \min_t c_{n,t})$

Fractional Gaussian Mixture Model

GMM com Σ fracionário

- $\sigma^2 = E[(X^r - \mu^r)^2]$
- $\bar{\sigma}_i^2 = \frac{\sum_{t=1}^T P(i|\mathbf{x}_t, \lambda) (\mathbf{x}_t^r - \bar{\mu}_i^r)^2}{\sum_{t=1}^T P(i|\mathbf{x}_t, \lambda)}$

Problema \mathbb{C}

Antes $c_n = c_n + (1 - \min_t c_{n,t})$

Depois $\mu_n = \mu_n - (1 - \min_t c_{n,t})$

Fractional Gaussian Mixture Model

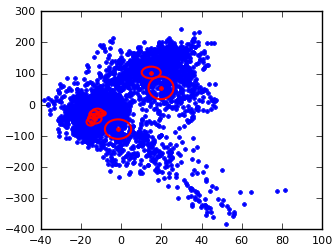
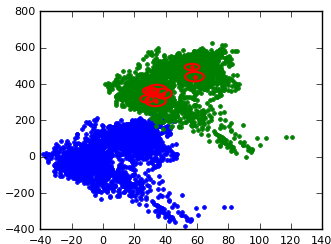
GMM com Σ fracionário

- $\sigma^2 = E[(X^r - \mu^r)^2]$
- $\bar{\sigma}_i^2 = \frac{\sum_{t=1}^T P(i|\mathbf{x}_t, \lambda) (\mathbf{x}_t^r - \bar{\mu}_i^r)^2}{\sum_{t=1}^T P(i|\mathbf{x}_t, \lambda)}$

Problema \mathbb{C}

Antes $c_n = c_n + (1 - \min_t c_{n,t})$

Depois $\mu_n = \mu_n - (1 - \min_t c_{n,t})$



Conteúdo

- 1 Introdução
- 2 Sistemas de Reconhecimento de Locutor
- 3 Extração de Características
- 4 Modelos de Mistura Gaussianas
- 5 Experimentos**
- 6 Conclusão

Corpus

Base MIT Mobile Device Speaker Verification Corpus

Corpus

Base MIT Mobile Device Speaker Verification Corpus
54 locuções/locutor em 3 níveis de ruído

Corpus

Base MIT Mobile Device Speaker Verification Corpus

54 locuções/locutor em 3 níveis de ruído

Baixo Escritório calmo

Corpus

Base MIT Mobile Device Speaker Verification Corpus

54 locuções/locutor em 3 níveis de ruído

Baixo Escritório calmo

Médio Saguão de edifício

Corpus

Base MIT Mobile Device Speaker Verification Corpus

54 locuções/locutor em 3 níveis de ruído

Baixo Escritório calmo

Médio Saguão de edifício

Alto Cruzamento movimentado

Corpus

Base MIT Mobile Device Speaker Verification Corpus

54 locuções/locutor em 3 níveis de ruído

Baixo Escritório calmo

Médio Saguão de edifício

Alto Cruzamento movimentado

3 sessões distintas

Enroll 1 Treinamento dos modelos

Corpus

Base MIT Mobile Device Speaker Verification Corpus

54 locuções/locutor em 3 níveis de ruído

Baixo Escritório calmo

Médio Saguão de edifício

Alto Cruzamento movimentado

3 sessões distintas

Enroll 1 Treinamento dos modelos

Enroll 2 Teste de detecção

Corpus

Base MIT Mobile Device Speaker Verification Corpus

54 locuções/locutor em 3 níveis de ruído

Baixo Escritório calmo

Médio Saguão de edifício

Alto Cruzamento movimentado

3 sessões distintas

Enroll 1 Treinamento dos modelos

Enroll 2 Teste de detecção

Imposter Teste de rejeição

Corpus

Base MIT Mobile Device Speaker Verification Corpus

54 locuções/locutor em 3 níveis de ruído

Baixo Escritório calmo

Médio Saguão de edifício

Alto Cruzamento movimentado

3 sessões distintas

Enroll 1 Treinamento dos modelos

Enroll 2 Teste de detecção

Imposter Teste de rejeição

Session	Training	Test	#female	#male
Enroll 1	X		22	26
Enroll 2		X	22	26
Imposter		X	17	23

Codificação

Linguagem Python 3.4.3

Codificação

Linguagem Python 3.4.3

Frameworks NumPy 1.8.1, SciPy 0.14.0, Matplotlib 1.4

Codificação

Linguagem Python 3.4.3

Frameworks NumPy 1.8.1, SciPy 0.14.0, Matplotlib 1.4

Parâmetros A implementação utilizou

Codificação

Linguagem Python 3.4.3

Frameworks NumPy 1.8.1, SciPy 0.14.0, Matplotlib 1.4

Parâmetros A implementação utilizou

- # filtros = 26

Codificação

Linguagem Python 3.4.3

Frameworks NumPy 1.8.1, SciPy 0.14.0, Matplotlib 1.4

Parâmetros A implementação utilizou

- # filtros = 26
- # coeficientes = 19

Codificação

Linguagem Python 3.4.3

Frameworks NumPy 1.8.1, SciPy 0.14.0, Matplotlib 1.4

Parâmetros A implementação utilizou

- # filtros = 26
- # coeficientes = 19
- Δ s de ordem 0, 1 e 2, com $K = 2$

Codificação

Linguagem Python 3.4.3

Frameworks NumPy 1.8.1, SciPy 0.14.0, Matplotlib 1.4

Parâmetros A implementação utilizou

- # filtros = 26
- # coeficientes = 19
- Δ s de ordem 0, 1 e 2, com $K = 2$
- Energy appending e CMS

Codificação

Linguagem Python 3.4.3

Frameworks NumPy 1.8.1, SciPy 0.14.0, Matplotlib 1.4

Parâmetros A implementação utilizou

- # filtros = 26
- # coeficientes = 19
- Δ s de ordem 0, 1 e 2, com $K = 2$
- Energy appending e CMS
- $r = 16$ para AGMM

Codificação

Linguagem Python 3.4.3

Frameworks NumPy 1.8.1, SciPy 0.14.0, Matplotlib 1.4

Parâmetros A implementação utilizou

- # filtros = 26
- # coeficientes = 19
- Δ s de ordem 0, 1 e 2, com $K = 2$
- Energy appending e CMS
- $r = 16$ para AGMM
- $threshold = 10^{-3}$ no EM

Codificação

Linguagem Python 3.4.3

Frameworks NumPy 1.8.1, SciPy 0.14.0, Matplotlib 1.4

Parâmetros A implementação utilizou

- # filtros = 26
- # coeficientes = 19
- Δ s de ordem 0, 1 e 2, com $K = 2$
- Energy appending e CMS
- $r = 16$ para AGMM
- $threshold = 10^{-3}$ no EM
- $M = 8, 16, 32, 64, 128$

Percalços

Inicialização Em 2 passos

Percalços

Inicialização Em 2 passos

- Escolha de médias aleatórias

Percalços

Inicialização Em 2 passos

- Escolha de médias aleatórias
- *k-means* \Rightarrow Novas médias + pesos e variâncias

Percalços

Inicialização Em 2 passos

- Escolha de médias aleatórias
- *k-means* \implies Novas médias + pesos e variâncias

Variâncias Podem reduzir significativamente

Percalços

Inicialização Em 2 passos

- Escolha de médias aleatórias
- *k-means* \implies Novas médias + pesos e variâncias

Variâncias Podem reduzir significativamente

- $\sigma_{min}^2 = 0.01$

Percalços

Inicialização Em 2 passos

- Escolha de médias aleatórias
- *k-means* \implies Novas médias + pesos e variâncias

Variâncias Podem reduzir significativamente

- $\sigma_{min}^2 = 0.01$
- $\sigma^2 < \sigma_{min}^2 \implies \sigma^2 \leftarrow \sigma_{min}^2$

Percalços

Inicialização Em 2 passos

- Escolha de médias aleatórias
- *k-means* \implies Novas médias + pesos e variâncias

Variâncias Podem reduzir significativamente

- $\sigma_{min}^2 = 0.01$
- $\sigma^2 < \sigma_{min}^2 \implies \sigma^2 \leftarrow \sigma_{min}^2$

Monotonic FGMM viola $\log p(\mathbf{X}|\lambda^{(k+1)}) \geq \log p(\mathbf{X}|\lambda^k)$

Percalços

Inicialização Em 2 passos

- Escolha de médias aleatórias
- *k-means* \implies Novas médias + pesos e variâncias

Variâncias Podem reduzir significativamente

- $\sigma_{min}^2 = 0.01$
- $\sigma^2 < \sigma_{min}^2 \implies \sigma^2 \leftarrow \sigma_{min}^2$

Monotonic FGMM viola $\log p(\mathbf{X}|\lambda^{(k+1)}) \geq \log p(\mathbf{X}|\lambda^k)$

- $|1 - r| \implies \downarrow$ estimaco

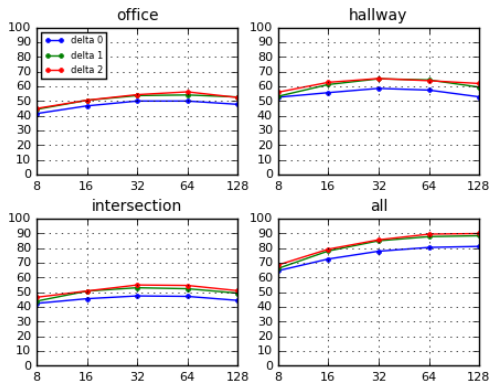
Identificação

SSGMM Single Speaker GMM

Δ	M	Office	Hallway	Intersection	All
0	8	41.55	52.66	42.48	64.66
	16	46.76	55.79	45.64	72.65
	32	50.08	58.68	47.53	77.93
	64	50.08	57.52	47.22	80.52
	128	47.84	52.93	44.48	81.21
1	8	44.41	53.28	43.98	66.20
	16	50.58	61.30	50.81	78.12
	32	53.78	65.20	53.09	85.03
	64	54.21	64.43	52.43	87.85
	128	52.82	59.53	49.42	88.46
2	8	45.02	56.06	46.60	68.56
	16	50.62	62.81	50.89	79.32
	32	54.44	65.39	54.98	85.69
	64	56.33	63.93	54.67	89.54
	128	52.47	62.00	51.08	89.97

Identificação

SSGMM Single Speaker GMM



Identificação

SSFGMM Single Speaker FGMM

Identificação

SSFGMM Single Speaker FGMM

$$r = r_0 + (-1)^u \delta$$

Identificação

SSFGMM Single Speaker FGMM

$$r = r_0 + (-1)^u \delta$$

- $r_0 = 1, u \in \{0, 1\}$

Identificação

SSFGMM Single Speaker FGMM

$$r = r_0 + (-1)^u \delta$$

- $r_0 = 1, u \in \{0, 1\}$
- $\delta \in \{0.01, 0.05\}$

Identificação

SSFGMM Single Speaker FGMM

$$r = r_0 + (-1)^u \delta$$

- $r_0 = 1, u \in \{0, 1\}$
- $\delta \in \{0.01, 0.05\}$

$\uparrow |1 - r| \implies \downarrow$ representação

Identificação

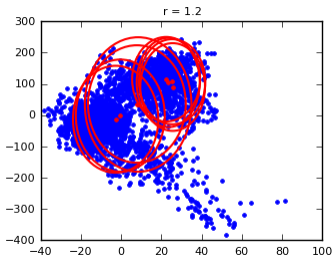
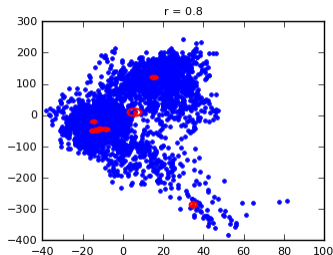
SSFGMM Single Speaker FGMM

$$r = r_0 + (-1)^u \delta$$

- $r_0 = 1, u \in \{0, 1\}$

- $\delta \in \{0.01, 0.05\}$

$\uparrow |1 - r| \implies \downarrow \text{representação}$



Identificação

SSFGMM Single Speaker FGMM

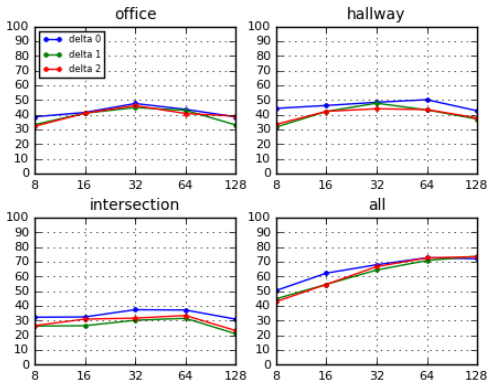
$$r = 0.95$$

Δ	M	Office	Hallway	Intersection	All
0	8	38.70	44.41	32.37	50.50
	16	41.63	46.37	32.56	62.35
	32	47.72	48.53	37.46	68.06
	64	43.75	50.31	37.27	72.80
	128	38.62	42.75	31.06	72.15
1	8	33.37	31.67	26.35	44.87
	16	41.13	42.32	26.62	54.71
	32	44.95	47.92	30.29	64.47
	64	43.13	43.36	31.64	70.95
	128	33.14	37.15	21.10	73.84
2	8	32.21	33.49	26.66	43.02
	16	41.09	42.40	31.10	54.67
	32	46.33	44.14	31.75	66.78
	64	40.93	43.60	33.53	72.72
	128	39.16	37.89	23.26	73.53

Identificação

SSFGMM Single Speaker FGMM

$$r = 0.95$$



Identificação

SSFGMM Single Speaker FGMM

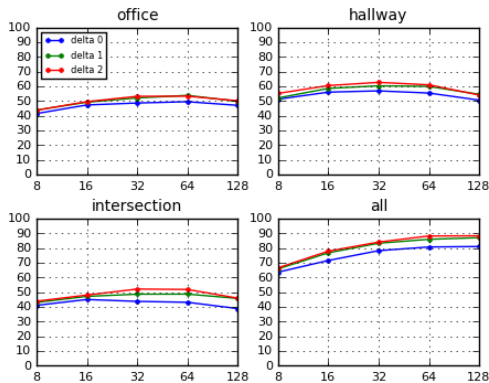
$$r = 0.99$$

Δ	M	Office	Hallway	Intersection	All
0	8	41.55	51.31	41.13	63.70
	16	47.42	56.13	45.10	71.64
	32	48.73	56.98	43.83	78.32
	64	49.61	55.52	43.21	80.83
	128	47.15	50.69	38.93	81.13
1	8	43.90	52.16	43.09	65.90
	16	49.31	58.68	47.22	76.85
	32	52.16	60.42	48.73	83.37
	64	53.94	60.03	48.77	86.03
	128	49.88	54.63	45.83	87.15
2	8	43.87	55.25	43.94	66.63
	16	49.65	60.61	48.11	77.97
	32	53.28	62.77	52.20	84.14
	64	53.40	61.11	51.93	88.31
	128	50.23	54.17	46.03	88.43

Identificação

SSFGMM Single Speaker FGMM

$$r = 0.99$$



Identificação

SSFGMM Single Speaker FGMM

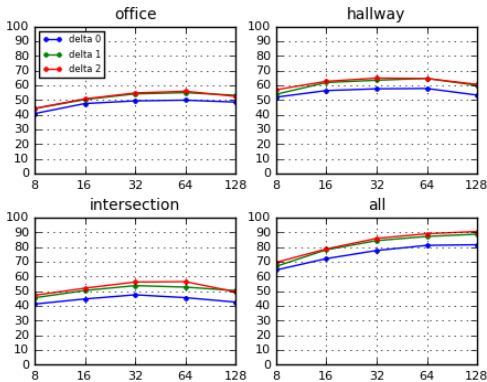
$$r = 1$$

Δ	M	Office	Hallway	Intersection	All
0	8	40.86	52.01	41.32	64.47
	16	47.69	56.52	44.79	72.22
	32	49.50	57.72	47.61	77.74
	64	50.00	57.95	45.68	81.25
	128	48.65	53.43	42.63	81.67
1	8	44.25	53.97	45.60	66.94
	16	50.42	62.00	50.54	78.24
	32	54.28	63.54	53.86	84.45
	64	55.09	64.81	52.85	87.31
	128	53.32	59.99	50.46	88.85
2	8	44.37	57.06	47.30	69.64
	16	50.89	62.81	52.12	78.78
	32	54.90	65.01	56.29	86.00
	64	56.06	64.70	56.56	89.16
	128	52.55	60.73	49.58	90.66

Identificação

SSFGMM Single Speaker FGMM

$$r = 1$$



Identificação

SSFGMM Single Speaker FGMM

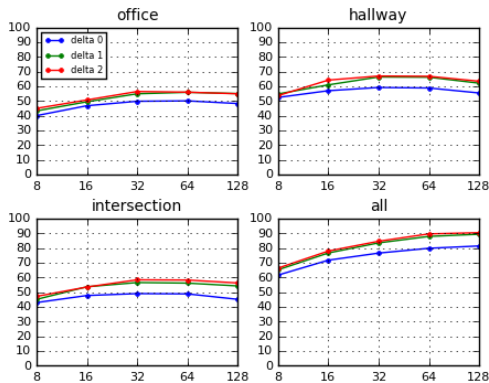
$$r = 1.01$$

Δ	M	Office	Hallway	Intersection	All
0	8	40.16	52.51	43.02	61.69
	16	46.88	57.10	47.80	71.84
	32	49.92	59.30	49.11	76.66
	64	50.19	58.95	48.92	79.94
	128	48.38	55.56	45.22	81.52
1	8	43.36	54.90	45.18	65.28
	16	49.58	61.07	53.74	76.74
	32	55.02	66.44	56.64	83.60
	64	56.02	66.28	56.25	88.00
	128	55.17	62.23	54.32	89.51
2	8	45.10	53.74	47.22	66.44
	16	50.81	64.31	53.59	78.05
	32	56.56	67.09	58.49	84.72
	64	56.10	66.90	58.33	89.74
	128	55.02	63.54	56.33	90.55

Identificação

SSFGMM Single Speaker FGMM

$$r = 1.01$$



Identificação

SSFGMM Single Speaker FGMM

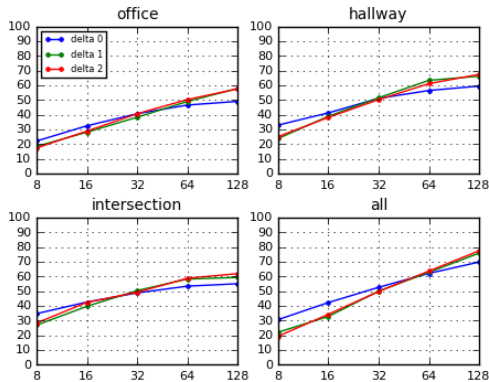
$$r = 1.05$$

Δ	M	Office	Hallway	Intersection	All
0	8	22.22	33.02	34.80	30.71
	16	32.52	41.32	42.67	42.32
	32	40.78	51.20	48.92	52.70
	64	46.68	56.56	53.51	62.19
	128	49.15	59.57	55.13	69.91
1	8	18.56	23.88	26.97	22.15
	16	28.20	39.00	39.78	32.87
	32	38.39	51.58	50.46	50.08
	64	49.11	63.46	58.33	62.96
	128	57.99	66.32	59.41	75.96
2	8	17.52	25.15	28.43	19.41
	16	28.94	38.27	42.44	34.30
	32	40.74	50.31	49.38	49.88
	64	50.42	61.23	58.87	63.77
	128	57.68	67.52	62.00	77.55

Identificação

SSFGMM Single Speaker FGMM

$$r = 1.05$$



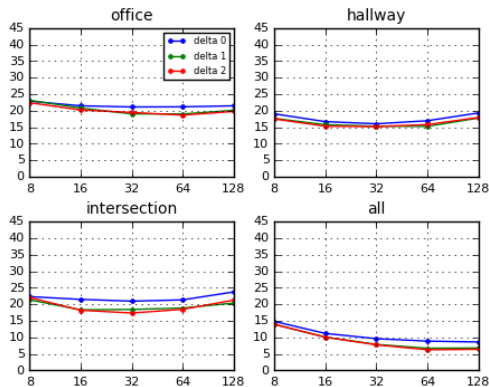
Verificação

SSGMM Single Speaker GMM

Δ	M	Office	Hallway	Intersection	All
0	8	22.88	19.06	22.30	14.81
	16	21.49	16.71	21.49	11.19
	32	21.14	16.05	20.94	9.61
	64	21.18	16.98	21.34	8.87
	128	21.49	19.33	23.74	8.60
1	8	23.15	17.67	21.34	13.93
	16	20.80	15.78	18.33	10.07
	32	19.06	15.31	18.45	7.87
	64	19.02	15.28	18.87	6.72
	128	20.14	17.79	20.37	6.79
2	8	22.42	17.52	22.03	13.92
	16	20.22	15.32	18.20	10.06
	32	19.48	15.20	17.36	7.75
	64	18.67	15.82	18.48	6.25
	128	19.80	17.94	21.26	6.40

Verificação

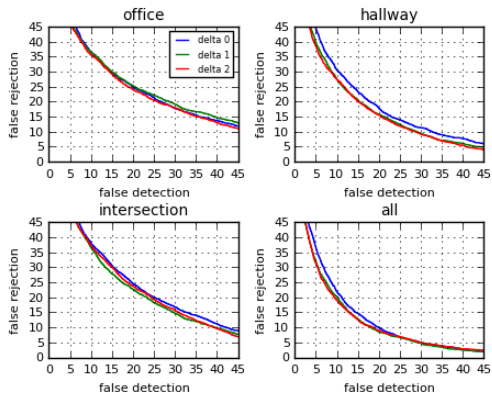
SSGMM Single Speaker GMM



Verificação

SSGMM Single Speaker GMM

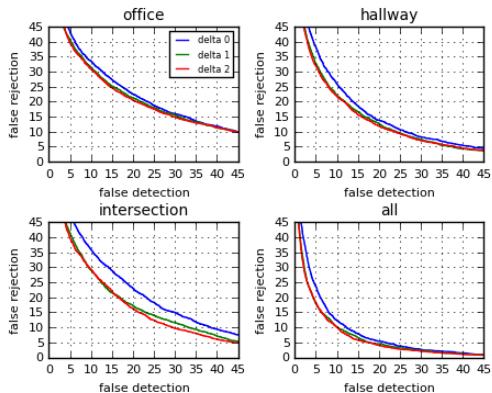
$$M = 8$$



Verificação

SSGMM Single Speaker GMM

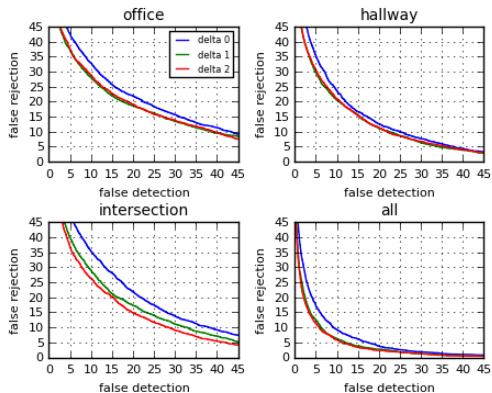
$$M = 16$$



Verificação

SSGMM Single Speaker GMM

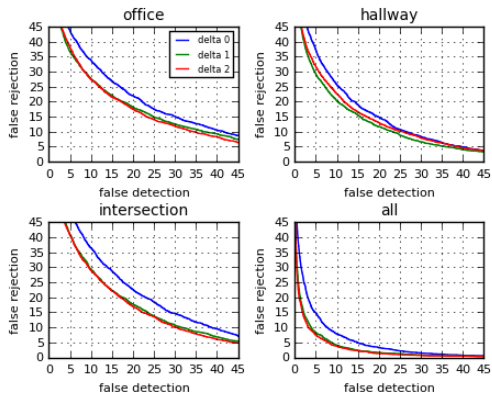
$$M = 32$$



Verificação

SSGMM Single Speaker GMM

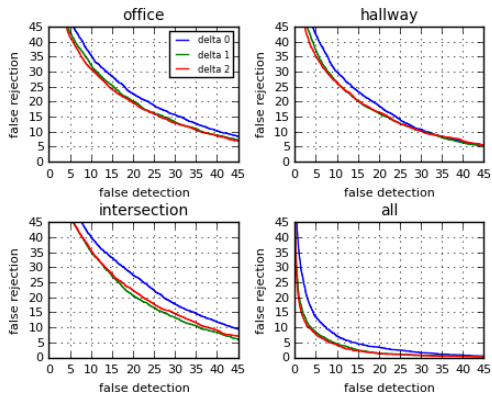
$M = 64$



Verificação

SSGMM Single Speaker GMM

$$M = 128$$



Verificação

SSAGMM Single Speaker AGMM

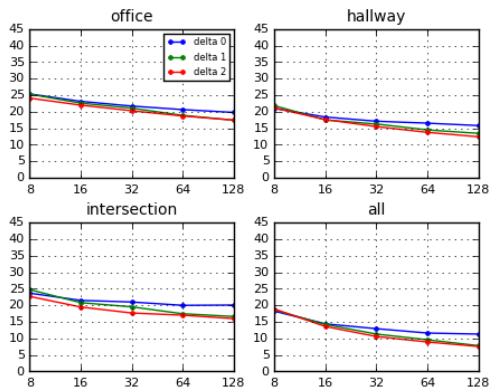
Adaptação Médias

Δ	M	Office	Hallway	Intersection	All
0	8	25.38	21.00	23.66	18.21
	16	23.14	18.40	21.49	14.39
	32	21.71	17.13	20.99	12.93
	64	20.64	16.55	19.98	11.61
	128	19.79	15.82	20.07	11.29
1	8	25.31	21.83	24.73	18.59
	16	22.61	17.52	20.80	14.20
	32	21.07	16.28	19.52	11.30
	64	18.90	14.51	17.44	9.58
	128	17.44	13.46	16.62	7.80
2	8	24.11	21.13	22.68	18.87
	16	21.99	17.63	19.47	13.59
	32	20.29	15.51	17.67	10.57
	64	18.71	13.77	17.01	8.91
	128	17.48	12.43	15.97	7.56

Verificação

SSAGMM Single Speaker AGMM

Adaptação Médias

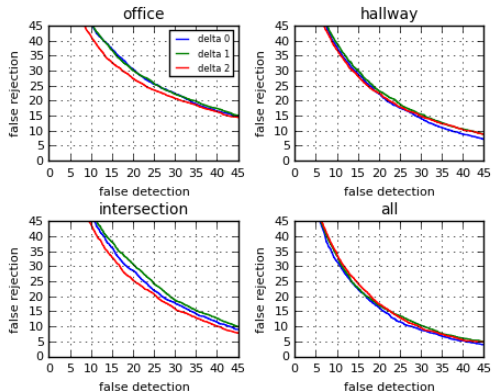


Verificação

SSAGMM Single Speaker AGMM

Adaptação Médias

$M = 8$

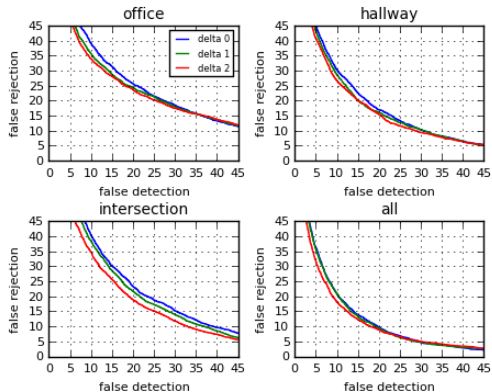


Verificação

SSAGMM Single Speaker AGMM

Adaptação Médias

$M = 16$

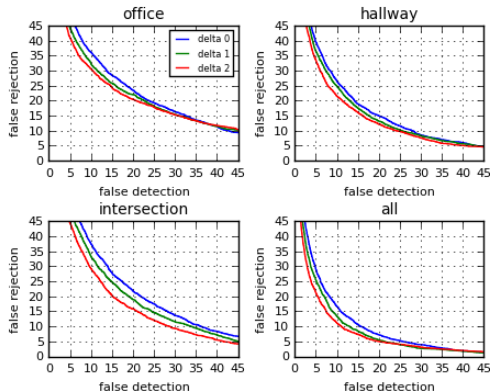


Verificação

SSAGMM Single Speaker AGMM

Adaptação Médias

$M = 32$

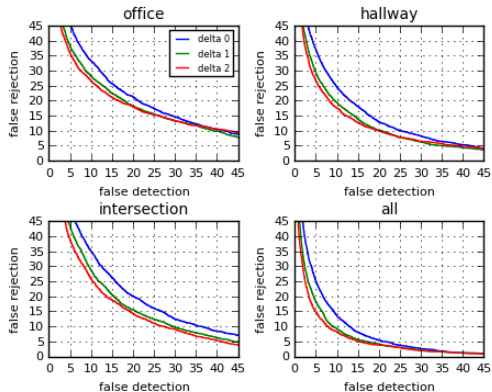


Verificação

SSAGMM Single Speaker AGMM

Adaptação Médias

$M = 64$

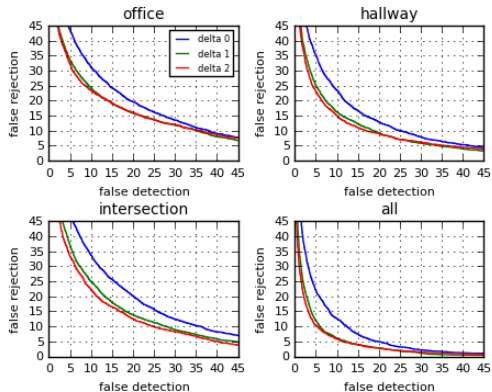


Verificação

SSAGMM Single Speaker AGMM

Adaptação Médias

$M = 128$



Verificação

SSAGMM Single Speaker AGMM

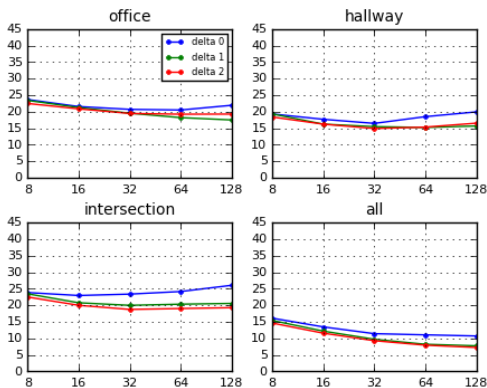
Adaptação Médias e variâncias

Δ	M	Office	Hallway	Intersection	All
0	8	23.68	19.32	23.84	16.09
	16	21.57	17.71	22.96	13.46
	32	20.72	16.48	23.38	11.42
	64	20.52	18.51	24.16	11.07
	128	21.95	19.96	26.04	10.72
1	8	23.42	19.33	23.45	15.39
	16	21.26	16.24	20.76	12.19
	32	19.56	15.50	19.98	9.72
	64	18.22	15.24	20.33	8.22
	128	17.52	15.69	20.56	7.75
2	8	22.49	18.40	22.49	14.62
	16	20.87	16.24	19.99	11.56
	32	19.48	14.93	18.75	9.30
	64	19.25	15.36	19.02	7.94
	128	19.29	16.55	19.28	7.25

Verificação

SSAGMM Single Speaker AGMM

Adaptação Médias e variâncias

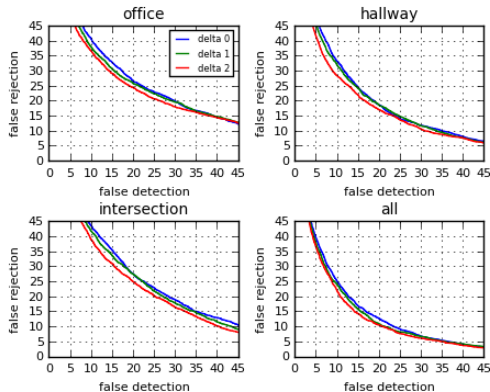


Verificação

SSAGMM Single Speaker AGMM

Adaptação Médias e variâncias

$M = 8$

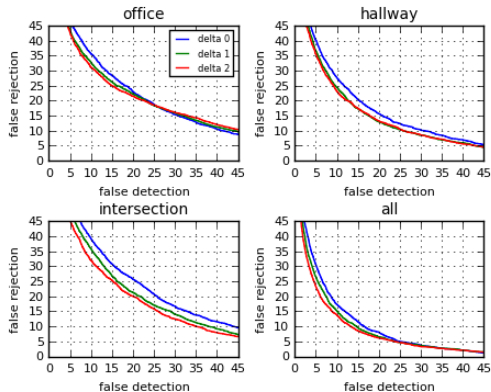


Verificação

SSAGMM Single Speaker AGMM

Adaptação Médias e variâncias

$M = 16$

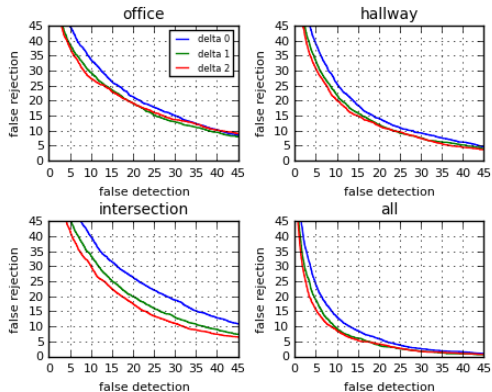


Verificação

SSAGMM Single Speaker AGMM

Adaptação Médias e variâncias

$M = 32$

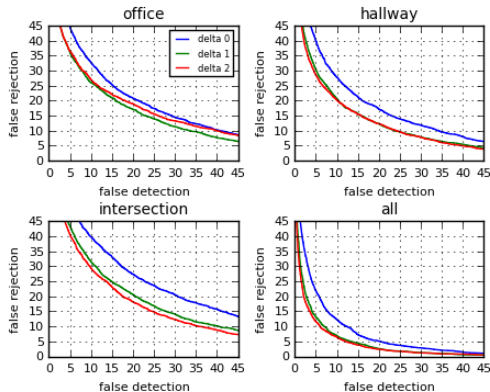


Verificação

SSAGMM Single Speaker AGMM

Adaptação Médias e variâncias

$M = 64$

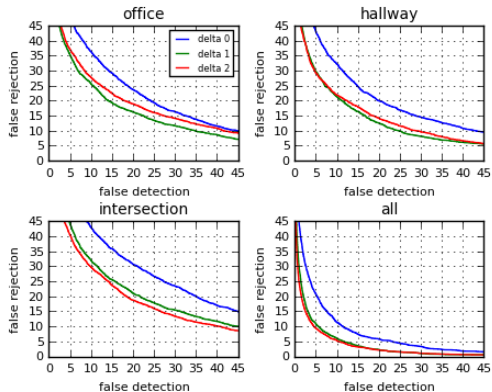


Verificação

SSAGMM Single Speaker AGMM

Adaptação Médias e variâncias

$M = 128$



Verificação

SSAGMM Single Speaker AGMM

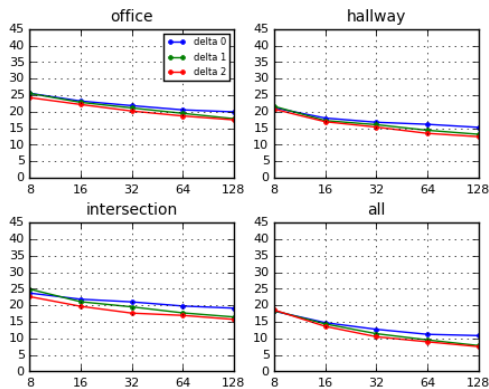
Adaptação Pesos e médias

Δ	M	Office	Hallway	Intersection	All
0	8	25.58	21.17	23.68	18.21
	16	23.23	18.09	21.83	14.74
	32	21.84	16.82	21.03	12.73
	64	20.56	16.20	19.78	11.23
	128	19.95	15.28	19.14	10.84
1	8	25.54	21.60	24.88	18.36
	16	22.84	17.32	21.07	14.35
	32	21.14	16.09	19.52	11.42
	64	19.52	14.40	17.71	9.53
	128	17.90	13.19	16.47	7.84
2	8	24.27	20.76	22.61	18.56
	16	22.18	16.98	19.68	13.62
	32	20.22	15.36	17.64	10.49
	64	18.72	13.47	16.95	8.96
	128	17.55	12.46	15.74	7.52

Verificação

SSAGMM Single Speaker AGMM

Adaptação Pesos e médias

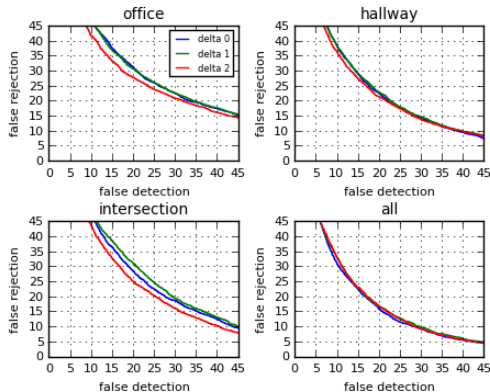


Verificação

SSAGMM Single Speaker AGMM

Adaptação Pesos e médias

$M = 8$

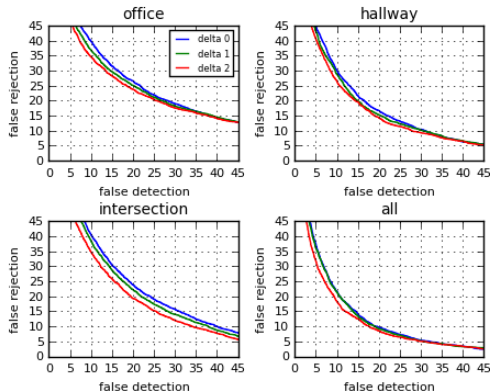


Verificação

SSAGMM Single Speaker AGMM

Adaptação Pesos e médias

$M = 16$

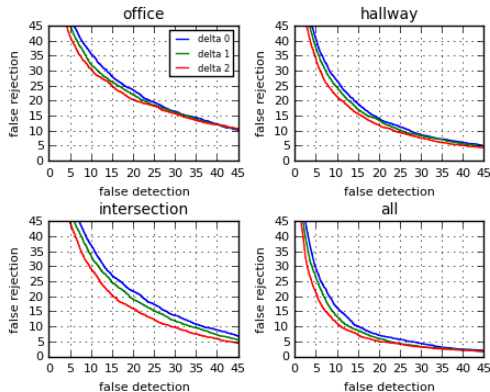


Verificação

SSAGMM Single Speaker AGMM

Adaptação Pesos e médias

$M = 32$

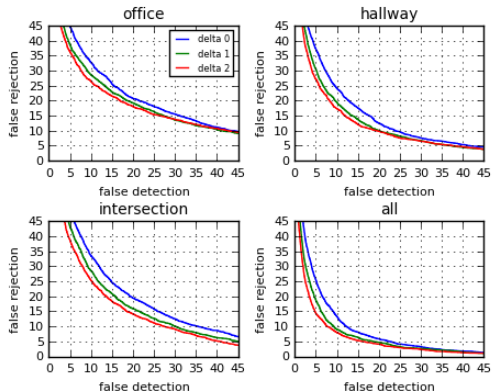


Verificação

SSAGMM Single Speaker AGMM

Adaptação Pesos e médias

$M = 64$

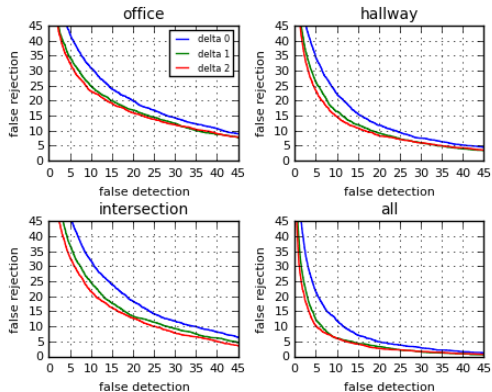


Verificação

SSAGMM Single Speaker AGMM

Adaptação Pesos e médias

$M = 128$



Verificação

SSAGMM Single Speaker AGMM

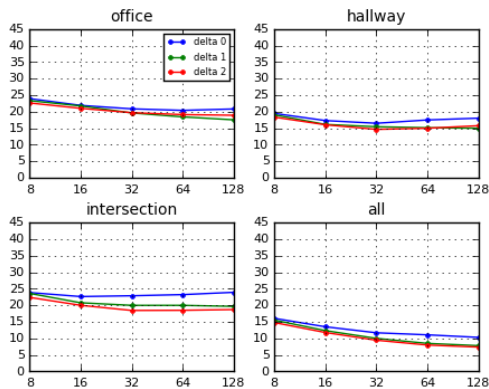
Adaptação Pesos, médias e variâncias

Δ	M	Office	Hallway	Intersection	All
0	8	23.96	19.49	23.84	16.04
	16	21.92	17.33	22.64	13.50
	32	20.87	16.51	22.88	11.69
	64	20.41	17.51	23.23	11.07
	128	20.84	18.06	23.92	10.30
1	8	23.35	19.06	23.58	15.51
	16	21.76	16.16	20.76	12.35
	32	19.64	15.47	19.98	9.99
	64	18.44	15.16	19.98	8.49
	128	17.55	15.01	19.68	7.80
2	8	22.65	18.36	22.38	14.78
	16	21.03	16.06	19.99	11.77
	32	19.71	14.67	18.44	9.44
	64	19.14	15.01	18.49	7.99
	128	18.94	15.78	18.71	7.37

Verificação

SSAGMM Single Speaker AGMM

Adaptação Pesos, médias e variâncias

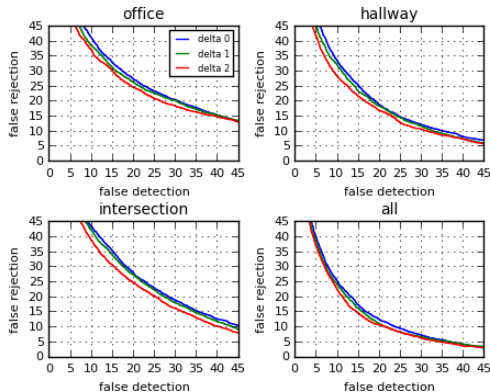


Verificação

SSAGMM Single Speaker AGMM

Adaptação Pesos, médias e variâncias

$M = 8$

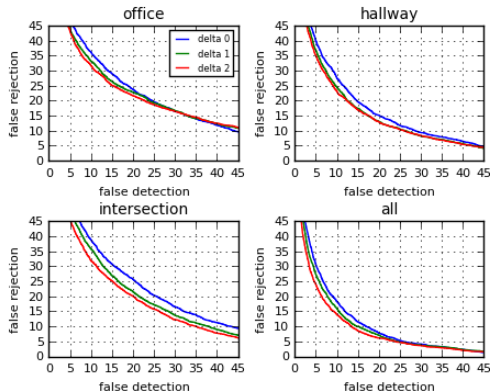


Verificação

SSAGMM Single Speaker AGMM

Adaptação Pesos, médias e variâncias

$M = 16$

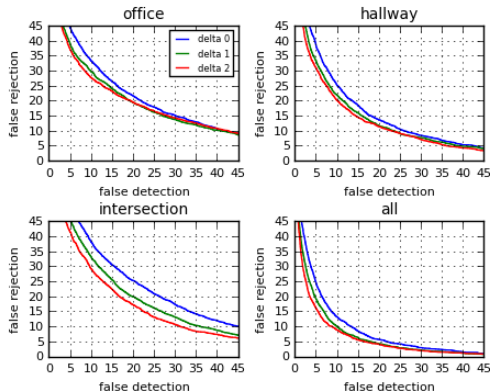


Verificação

SSAGMM Single Speaker AGMM

Adaptação Pesos, médias e variâncias

$M = 32$

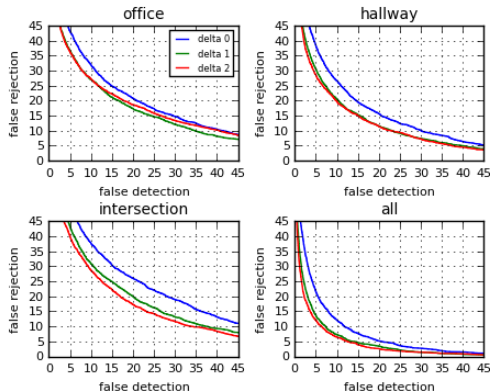


Verificação

SSAGMM Single Speaker AGMM

Adaptação Pesos, médias e variâncias

$M = 64$

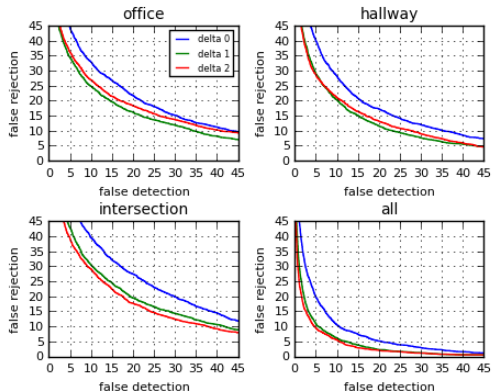


Verificação

SSAGMM Single Speaker AGMM

Adaptação Pesos, médias e variâncias

$M = 128$



Conteúdo

- 1 Introdução
- 2 Sistemas de Reconhecimento de Locutor
- 3 Extração de Características
- 4 Modelos de Mistura Gaussianas
- 5 Experimentos
- 6 Conclusão**

Conclusão

GMM é uma ótima modelagem para reconhecimento de locutor independente de texto

Conclusão

GMM é uma ótima modelagem para reconhecimento de locutor independente de texto

Identificação com FGMM apresentou resultados inferiores ao esperado

Conclusão

GMM é uma ótima modelagem para reconhecimento de locutor independente de texto

Identificação com FGMM apresentou resultados inferiores ao esperado

- Investigar melhor a teoria

Conclusão

GMM é uma ótima modelagem para reconhecimento de locutor independente de texto

Identificação com FGMM apresentou resultados inferiores ao esperado

- Investigar melhor a teoria
- Problema de calibragem do r ?

Conclusão

GMM é uma ótima modelagem para reconhecimento de locutor independente de texto

Identificação com FGMM apresentou resultados inferiores ao esperado

- Investigar melhor a teoria
- Problema de calibragem do r ?

Verificação com GMM apresenta bons resultados

Conclusão

GMM é uma ótima modelagem para reconhecimento de locutor independente de texto

Identificação com FGMM apresentou resultados inferiores ao esperado

- Investigar melhor a teoria
- Problema de calibragem do r ?

Verificação com GMM apresenta bons resultados

- Testar com valores maiores de M

Conclusão

GMM é uma ótima modelagem para reconhecimento de locutor independente de texto

Identificação com FGMM apresentou resultados inferiores ao esperado

- Investigar melhor a teoria
- Problema de calibragem do r ?

Verificação com GMM apresenta bons resultados

- Testar com valores maiores de M
- Utilizar outras bases

Conclusão

GMM é uma ótima modelagem para reconhecimento de locutor independente de texto

Identificação com FGMM apresentou resultados inferiores ao esperado

- Investigar melhor a teoria
- Problema de calibragem do r ?

Verificação com GMM apresenta bons resultados

- Testar com valores maiores de M
- Utilizar outras bases

Verificação com AGMM é uma boa alternativa

Conclusão

GMM é uma ótima modelagem para reconhecimento de locutor independente de texto

Identificação com FGMM apresentou resultados inferiores ao esperado

- Investigar melhor a teoria
- Problema de calibragem do r ?

Verificação com GMM apresenta bons resultados

- Testar com valores maiores de M
- Utilizar outras bases

Verificação com AGMM é uma boa alternativa

- Boas modelagens sempre adaptam as médias

Conclusão

GMM é uma ótima modelagem para reconhecimento de locutor independente de texto

Identificação com FGMM apresentou resultados inferiores ao esperado

- Investigar melhor a teoria
- Problema de calibragem do r ?

Verificação com GMM apresenta bons resultados

- Testar com valores maiores de M
- Utilizar outras bases

Verificação com AGMM é uma boa alternativa

- Boas modelagens sempre adaptam as médias
- Testar com diferentes valores de r

Dúvidas?